 ©小川竜一 Ryuichi Ogawa、木島慎一 Shinichi Kijima、高橋晴美 Harumi Takahashi、緒方宏泰 Hiroyasu Ogata

table-1112

肝代謝型薬物（Ae%<30);

E_H(B)<0.3, Vd(B)<20, fuB>0.2

【PK パラメータの決定因子】

	Vd(B)	CL_{tot}(B)	AUC_{iv}(B)	CL_{po}(B)	AUC_{po}(B)	k_{el}	$t_{1/2}$
C_B	Vp	$CL\mathrm{int}_H$	$\frac{D}{CL\mathrm{int}_H}$	$\frac{CL\mathrm{int}_H}{Fa}$	$\frac{D \cdot Fa}{CL\mathrm{int}_H}$	$\frac{CL\mathrm{int}_H}{Vp}$	$\frac{0.693 \cdot Vp}{CL\mathrm{int}_H}$
C_{Bf}	Vp	$CL\mathrm{int}_H$	$\frac{D}{CL\mathrm{int}_H}$	$\frac{CL\mathrm{int}_H}{Fa}$	$\frac{D \cdot Fa}{CL\mathrm{int}_H}$	$\frac{CL\mathrm{int}_H}{Vp}$	$\frac{0.693 \cdot Vp}{CL\mathrm{int}_H}$

$C_{B0}=\frac{D}{Vp}$　　$C_{Bss(iv)}=\frac{R\mathrm{inf}}{CL\mathrm{int}_H}$　　$C_{Bssave(po)}=\frac{D \cdot \mathrm{Fa}}{\tau \cdot CL\mathrm{int}_H}$

$C_{B0f}=\frac{D}{Vp}$　　$C_{Bssf(iv)}=\frac{R\mathrm{inf}}{CL\mathrm{int}_H}$　　$C_{Bssavef(po)}=\frac{D \cdot \mathrm{Fa}}{\tau \cdot CL\mathrm{int}_H}$

【CL_{int} , Q および fuB の変化に伴う各パラメータの動き】

	CL_{intH}				Q_H				fuB			
	⇩		⇧		⇩		⇧		⇩		⇧	
	C_B	C_{Bf}	C_B	C_{Bf}	C_B	C_{Bf}	C_B	C_{Bf}	C_B	C_{Bf}	C_B	C_{Bf}
Vd(B)	⇔	⇔	⇔	⇔	⇔	⇔	⇔	⇔	⇔	⇔	⇔	⇔
C_{B0}	⇔	⇔	⇔	⇔	⇔	⇔	⇔	⇔	⇔	⇔	⇔	⇔
CL_{tot}(B)	⇩	⇩	⇧	⇧	⇔	⇔	⇔	⇔	⇔	⇔	⇔	⇔
AUC_{iv}(B)	⇧	⇧	⇩	⇩	⇔	⇔	⇔	⇔	⇔	⇔	⇔	⇔
$C_{Bss(iv)}$	⇧	⇧	⇩	⇩	⇔	⇔	⇔	⇔	⇔	⇔	⇔	⇔
CL_{po}(B)	⇩	⇩	⇧	⇧	⇔	⇔	⇔	⇔	⇔	⇔	⇔	⇔
AUC_{po}(B)	⇧	⇧	⇩	⇩	⇔	⇔	⇔	⇔	⇔	⇔	⇔	⇔
$C_{Bssave(po)}$	⇧	⇧	⇩	⇩	⇔	⇔	⇔	⇔	⇔	⇔	⇔	⇔
k_{el}	⇩	⇩	⇧	⇧	⇔	⇔	⇔	⇔	⇔	⇔	⇔	⇔
$t_{1/2}$	⇧	⇧	⇩	⇩	⇔	⇔	⇔	⇔	⇔	⇔	⇔	⇔
TDM の治療域(Target C_{Bssave})	⇔		⇔		⇔		⇔		⇔		⇔	

[C] 病態の変化に伴う血中総濃度・非結合形濃度の推移

©小川竜一 Ryuichi Ogawa、木島慎一 Shinichi Kijima、高橋晴美 Harumi Takahashi、緒方宏泰 Hiroyasu Ogata

table-1112

肝代謝型薬物（Ae%<30);
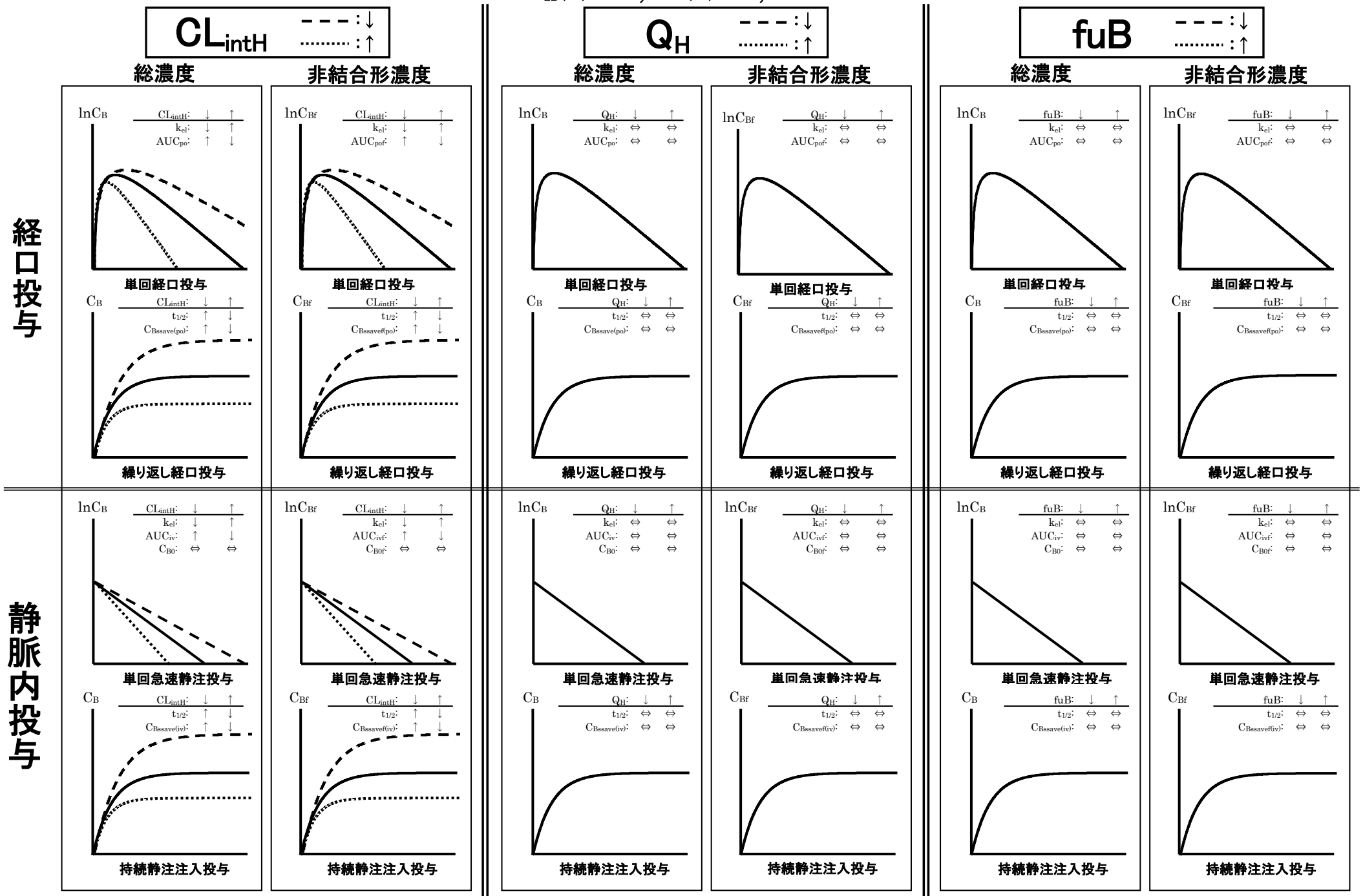
$E_H(B)<0.3$, $Vd(B)<20$, $fuB>0.2$